

# I-47 任意荷重の作用する場合の連続円筒シェルの解析

東京大学 正員 奥村敏恵  
埼玉大学 正員。浜島良吉

## 1. まえがき

任意荷重の作用する円筒シェルに対する解析法としては, Biglard, Kozalow 等による 2 重 Fourier 級数による解法がある。又集中荷重(法線方向)の作用する場合には Dorevskie, Flüge 等による研究がある。ここで Biglard による方法は、荷重分布中の狭い範囲で剛性が発散し、集中荷重に近い荷重の作用する場合には不適当である。又 Dorevskie 等による集中荷重に対する解は任意の分布荷重に適用することはできない。そこで本研究においては、任意の分布荷重(集中荷重を含む)が作用する場合の円筒の解析解を導き、さらに連続円筒シェルの解析にも適用できることを示した。ここで円筒の解は局部的な応力を表わす複素力と、はり理論における解の和で与えられ、はり理論における解は、独立に transfer matrix を用いて得られる。

## 2. 解析方法

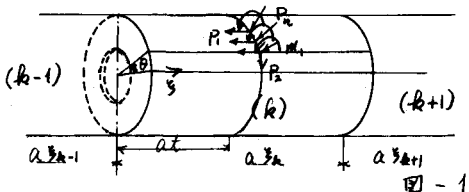
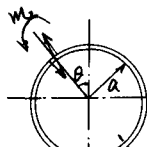


図-1



(上側が對称荷重 下側が逆対称)  
(荷重を表す)

$\phi$  = 角の断面に図のような荷重  $P_n, P_m, M_1$  が載荷されて作用する場合を考える。  $M_2$  に対する荷重方向荷重から解を得ることができる。ここで円筒の解析法としては、変位法によるものと、元法による解析方法があり、変位法による場合の階の微分方程式となるが、Novozilov の複素元法を用いれば、次の半階の複素微分方程式を解くことになる。

$$\Delta \Delta(\tilde{\tau}) + \frac{\partial^2 \tilde{\tau}}{\partial \theta^2} + 2i\beta^2 \frac{\partial \tilde{\tau}}{\partial \xi^2} = i2\beta^2 a \left\{ \Delta(P_n) + \frac{\partial P}{\partial \theta} - \frac{\partial R}{\partial \xi} \right\}, \quad (2) \Delta(\dots) = \frac{\partial \dots}{\partial \xi^2} + \frac{\partial \dots}{\partial \theta^2}$$

二階より複素力  $\tilde{\tau}$  の一般解は

$$\begin{aligned} \tilde{\tau} = \tilde{\tau}^k &+ \left[ C_0 + D_0 \xi + (C_2 + C_1 \xi) \frac{\cos \theta}{\sin \theta} \right] + \left( \tilde{A}_0 e^{i\theta \xi} + \tilde{B}_0 e^{i\theta(3k-\xi)} + \left( \tilde{A}_1 e^{i\theta \xi} + \tilde{B}_1 e^{i\theta(3k-\xi)} \right) \cos \theta \right. \\ &\left. + \sum_{n=2}^{\infty} \left( \tilde{A}_n e^{i\theta \xi} + \tilde{B}_n e^{i\theta \xi} + \tilde{C}_n e^{i\theta(3k-\xi)} + \tilde{D}_n e^{i\theta(3k-\xi)} \right) \frac{\cos n\theta}{\sin n\theta} \right] \quad \dots (3) \end{aligned}$$

ここで右辺オーナー項は式(1)の特解であり、オーナー項内は、はり理論に対応する解であり、膜方程式から得られた結果と一緒にする。オーナー項内は式(1)の同次解である。ニニで同次解は、円筒(k)の両端近傍の境界擾乱元を表わし、ニニによる境界量は、次の複素境界量を用いると便利である。

$$\begin{aligned} \tilde{M}_1 &= \sum \tilde{M}_{1,n} \frac{\cos n\theta}{\sin n\theta} = \sum (M_{1,n} + iEh c \varepsilon_{2,n}) \frac{\cos n\theta}{\sin n\theta} \\ \tilde{T}_1 &= \sum \tilde{T}_{1,n} \frac{\cos n\theta}{\sin n\theta} = \sum (T_{1,n} - iEh c K_{2,n}) \frac{\cos n\theta}{\sin n\theta} \\ \tilde{S} &= \sum \tilde{S}_{1,n} \frac{\cos n\theta}{\sin n\theta} = \sum (S_{1,n} + iEh c K_{2,n}) \frac{\cos n\theta}{\sin n\theta} \\ \tilde{Q}_{1n} &= \sum \tilde{Q}_{1n,n} \frac{\cos n\theta}{\sin n\theta} = \sum (Q_{1n,n} - iEh c K_{2n,n}) \frac{\cos n\theta}{\sin n\theta} \end{aligned} \quad (4)$$

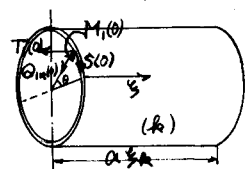


図-2

注(1) 荷重載荷中を少しあくらめると円筒元の収束は悪くなるが、実際には一見して載荷されるとはなく、EIT 有限の巾を持ち、実際に用いらねばならない範囲において十分収束する解が得られる。

式(3), (4)より複素境界量は次式で与えられる ( $n \geq 2$  の場合につけられ)

$$\begin{pmatrix} \tilde{M}_{1,n}(s) \\ \tilde{T}_{1,n}(s) \\ \tilde{S}_{1,n}(s) \\ \tilde{D}_{1,n}(s) \end{pmatrix} = \begin{pmatrix} \alpha & \alpha \\ \beta & -\beta \end{pmatrix} \begin{pmatrix} E(s) & 0 \\ 0 & E(\bar{s}) \end{pmatrix} \begin{pmatrix} \tilde{A}_n \\ \tilde{B}_n \\ \tilde{C}_n \\ \tilde{D}_n \end{pmatrix} \quad \dots (5.a)$$

$$E(s) = \begin{pmatrix} e^{\alpha_1 s} & 0 \\ 0 & e^{\alpha_2 s} \end{pmatrix}, \quad E(\bar{s}) = \begin{pmatrix} e^{\alpha_1(\bar{s}-s)} & 0 \\ 0 & e^{\alpha_2(\bar{s}-s)} \end{pmatrix} \quad \dots (5.b)$$

次に特解 $\bar{x}$ に対する解は、複素境界量式(5)の形で表わされることは利用して求めることができます。荷重作用断面近傍の特解による複素境界量を次式で表わす。

$$\begin{pmatrix} \tilde{M}_{1,n}(s) \\ \tilde{T}_{1,n}^*(s) \\ \tilde{S}_{1,n}^*(s) \\ \tilde{D}_{1,n}^*(s) \end{pmatrix} = \begin{pmatrix} \alpha & \alpha \\ \beta & -\beta \end{pmatrix} \begin{pmatrix} E_2(s-x) & 0 \\ 0 & E_2(\bar{s}-x) \end{pmatrix} \begin{pmatrix} \tilde{A}_n^* \\ \tilde{B}_n^* \\ \tilde{C}_n^* \\ \tilde{D}_n^* \end{pmatrix} \quad (6.a)$$

$$\left. \begin{array}{l} \text{したがって} \tilde{C}_n^* = \tilde{D}_n^* = 0 \\ \text{また} \tilde{A}_n^* = \tilde{B}_n^* = 0 \\ E_1(s-x) = E(\bar{s}-x) \\ E_2(s-x) = E(\bar{s}-x) \end{array} \right\} \quad (6.b)$$

ここで複素常数 $\tilde{A}_n^*, \tilde{B}_n^*, \tilde{C}_n^*, \tilde{D}_n^*$ は、荷重作用断面における複素接合条件より、 $\bar{x}$ のように $\bar{x}$ 。

$$\begin{pmatrix} \tilde{A}_n^* \\ \tilde{B}_n^* \end{pmatrix} = \frac{1}{2} \beta^{-1} \begin{pmatrix} P_{2,n} \\ P_{1,n} \end{pmatrix} + \frac{1}{2} \alpha^{-1} \begin{pmatrix} M_{1,n} \\ P_{1,n} \end{pmatrix}, \quad \begin{pmatrix} \tilde{C}_n^* \\ \tilde{D}_n^* \end{pmatrix} = \frac{1}{2} \beta^{-1} \begin{pmatrix} P_{2,n} \\ P_{1,n} \end{pmatrix} - \frac{1}{2} \alpha^{-1} \begin{pmatrix} M_{1,n} \\ P_{1,n} \end{pmatrix} \quad \dots (7)$$

$n=0, 1$ の場合についても同様にして解を得ることができます。これより、内筒に対する特解（荷重作用断面近傍の撓れ剛力）は無限長筒の解として定めることができます。

次に、(4)理論に対する解は transfer matrix 法を用いて、荷重作用する場合に対する解を得ることができます。

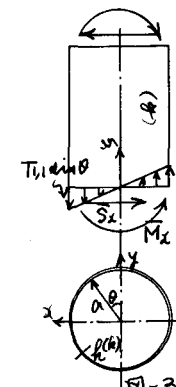
$$n=1 \text{ のとき } Y(s)^{(k+1)} = U^{(k)} U^{(k-1)} \dots U^{(1)} Y(s)^{(1)}, \quad U^{(k)} = U^{(k)} F(s_k)^{(k)} \quad \dots (8)$$

$= 2F(s)^{(k)}$ ,  $U^{(k)}$  は第 k 管 transfer matrix および Point matrix である。

$$Y(s)^{(k)} = \left[ \bar{W}(s), \alpha \bar{\varphi}(s), \bar{M}(s)/\alpha \pi, \bar{S}(s)/\alpha \pi, 1 \right]^T$$

$$F(s)^{(k)} = \begin{pmatrix} 1 & \frac{s}{2} & \frac{s^2}{2} & f - 2(HD)\frac{s}{2} + \frac{s^2}{6} & G \\ 0 & 1 & \frac{s}{2} & dG/ds & dG/ds^2 \\ 0 & 0 & 1 & d^2G/ds^2 & d^2G/ds^3 \\ 0 & 0 & 0 & 1 & d^3G/ds^3 \\ 0 & 0 & 0 & 0 & 1 \end{pmatrix}$$

$$U^{(k)} = \begin{pmatrix} h^{(k+1)} & 0 & 0 & 0 & 0 \\ 0 & h^{(k+1)} & 0 & 0 & 0 \\ 0 & 0 & 1 & 0 & \bar{m}^{(k+1)} / \alpha^2 \pi \\ 0 & 0 & 0 & 1 & P(s_k) / \alpha \pi \\ 0 & 0 & 0 & 0 & 1 \end{pmatrix}$$

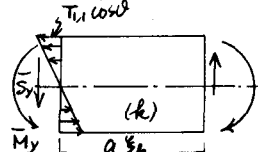


$$W = \frac{a}{Eh} \bar{w} \quad \dots \text{たわみ}$$

$$\varphi = \frac{a}{Eh} \bar{\varphi} \quad \dots \text{たわみ角}$$

$\bar{M}$  ... は (k) の曲げモーメント

$\bar{S}$  ... せん断力



ここで  $G$  はウラソフの初期ハドソン法により得られた影響係数である。以上より、(4)理論に対する解は撓れ剛力を柱目に定めることができます。

$n=0$  の場合に対する、(4)理論に対する解も同様にして得ることができます。

これより式(3)における一般解たお(1)、特解 $\bar{x}$ 、および(4)理論に対する解に対する定義と、同次解における境界撓れ剛力の中に含まれる複素常数 $\tilde{A}_n, \tilde{B}_n, \tilde{C}_n, \tilde{D}_n$ は式(5), (6), (8)を用いて定めることにより、接合条件、境界条件が定めることができます。

3. あとがき 内筒軸方向に荷重が分布する場合には、式(6.b)の $E_1(s-x), E_2(s-x)$ を式に用いて積分するより解が得られます。こうして任意の線荷重、分布荷重が作用する場合の内筒シルの解を得ることができます。